

تأثیر فعالیتهای آدنوزینی A₁ در نورونهای ناحیه CA1 هیپوکمپ بر تشنجهای ایجاد شده به روش کیندلینگ الکتریکی در قشر انتورینال موش صحرایی

علی حیدریان پور M.Sc.^{*}, سید جواد میرنجفی زاده Ph.D.[†], یعقوب فتح‌الهی Ph.D.[‡]

^{*} دانشگاه تربیت مدرس، دانشکده پزشکی، گروه فیزیولوژی

[†] آدرس مکاتبه: صندوق پستی: ۱۴۱۱۵-۱۱۱، دانشگاه تربیت مدرس، دانشکده پزشکی، گروه فیزیولوژی

چکیده

هدف: بررسی نقش گیرنده‌های آدنوزینی‌های A₁ نورونهای ناحیه CA1 هیپوکمپ بر تشنجهای ناشی از کیندلینگ الکتریکی قشر انتورینال.

مواد و روشها: موشهای صحرایی با تحریک الکتریکی روزانه قشر انتورینال کیندل شدند. به حیوانات کیندل شده، N⁶-سیکلر هگزیل آدنوزین (CHA)، آگونیست اختصاصی گیرنده A₁ با غلظت‌های ۱، ۱۰ و ۵۰ میکرومولار و ۱ و ۳-دی‌متیل-۸-سیکلوبوتیل گرازتین (CPT)، آنتاگونیست اختصاصی گیرنده A₁ با غلظت‌های ۵ و ۱۰ میکرومولار به ناحیه CA1 هیپوکمپ تزریق شدند (۱۶۹/۲۲min). حیوانات در زمانهای ۵، ۱۵، ۲۰ دقیقه پس از تزریق تحریک شدند. به تمامی حیوانات ۲۴ ساعت قبل از تزریق دارو، مایع مغزی-نخاعی مصنوعی تزریق و از داده‌های حاصل به عنان کنترل استفاده گردید.

یافته‌ها: تزریق داروی CHA با غلظت‌های ۱ و ۱۰ میکرومولار باعث کاهش معنی داری در مدت زمان امواج تخلیه متعاقب (ADD) بیش از قشر انتورینال و ناحیه CA1 هیپوکمپ و مدت زمان مرحله ۵ تشنح (S5D) شد و زمان تأخیری بین تحریک تا شروع مرحله ۴ تشنح (S4L) را افزایش داد. CPT با غلظت ۵ میکرومولا، مدت زمان تشنح (SD) را نیز بطور معنی داری کاهش داد. تزریق CHA با غلظت ۱ میکرومولا تأثیری بر کمیت‌های تشنجی نداشت. CPT با غلظت ۵ میکرومولا به ناحیه CA1 هیپوکمپ تأثیر معنی داری بر کمیت‌های تشنجی نداشت ولی با غلظت ۱۰ میکرومولا باعث کاهش معنی داری در S4L و افزایش معنی داری در S5D و ADD شد. ولی تأثیر معنی داری روی SD نداشت. پیش درمانی حیوانات با CTP (۵ میکرومولا) بطور معنی داری اثرات CHA (۵ و ۱۰ میکرومولا) را بر کمیت‌های تشنجی حذف کرد.

نتیجه‌گیری: نتایج حاصله این احتمال را مطرح می‌کند که فعالیت نورونهای ناحیه CA1 هیپوکمپ در گسترش امواج تشنجی از قشر انتورینال به سایر نواحی نقش داشته و فعالیت گیرنده‌های آدنوزینی A₁ این نورونها توسط CHA، باعث ایجاد اثرات ضد تشنجی در کیندلینگ ناشی از تحریک قشر انتورینال شود.

کل واژگان: تشنح، قشر انتورینال، هیپوکمپ، کیندلینگ

مقدمه

شناخت مکانیسمهای ایجاد صرع از دیر باز یکی از موضوعات مورد تحقیق بشر بوده است، ولی علی رغم تحقیقات وسیع در این زمینه، هنوز مکانیسم دقیق ایجاد آن مشخص نگردیده است و داروهای ضد صرع موجود، فقط علامت این بیماری را کنترل کرده و مانع درمان فطیعی آن نمی شود (۱، ۲). برای شناسایی پاتوفیزیولوژی بیماری صرع و کشف داروهایی که بتواند مانع وقوع حملات صرع شوند، از مدل‌های آزمایشگاهی مختلفی استفاده می شود. یکی از این مدل‌ها، کیندیلینگ است. در این مدل حیوان مورد آزمایش بصورت مکرر و با فواصل زمانی مشخص توسط محرك ضعیفی که در ابتداء قادر به ایجاد تشنج نیست، تحریک می شود و به مرور زمان همان تحریک ضعیف باعث بروز رفتارهای تشنجی در حیوان می گردد. پس از هر بار تحریک، رفتار تشنجی شدیدتر شده و در نهایت به تشنج تحریکی یا عمومی منجر می شود (۳). تشنجهایی که بدین روش ایجاد می شود، مشابه رایجترین نوع تشنج یعنی تشنجهای پیچیده موضعی است (۴).

از آن جا که متن‌آیجاد اکثر تشنجهای موضعی پیچیده در انسان سیستم لیمیک است، تحقیقات زیادی برای بین به نقش بخشی ایجاد این سیستم در ایجاد گسترش حملات تشنجی با استفاده از مدل کیندیلینگ، انجام شده است. قشر انوریتال یکی از این بخشها است که دارای ارتباطات وسیع با سایر نواحی سیستم لیمیک و نواحی حرکتی بوده و به نظر می رسد نقش مهمی در تولید و گسترش حملات تشنجی داشته باشد (۵).

هنگام ایجاد تشنج به روش کیندیلینگ در قشر انوریتال، امواج تشنجی از این ناحیه به سایر نقاط مغز منتشر می شود و این نواحی ممکن است اثرات تحریکی یا مهاری بر گسترش امواج تشنجی داشته باشند (۵). از آنجاکه ناحیه CA1 هیپوکمپ ارتباط آناتومیکی و فیزیولوژیکی با قشر انوریتال دارد (۶). احتمال می رود که در انتشار امواج تشنجی از قشر انوریتال نقش مهمی داشته باشد. بنا برین ممکن است هر عاملی که فعالیت نورونهای ناحیه CA1 هیپوکمپ را تحت تأثیر قرار دهد، بر عمل انتشار امواج تشنجی از قشر انوریتال به سایر نقاط مغز تأثیر گذارد (۵). یکی از این عوامل آدنوزین است. آدنوزین یک تعديل کننده نوروپنی درون زاد است که در شرایط طبیعی اثر مهاری تونیک روی فعالیت مغزی دارد؛ این اثر مهاری باعث تنظیم تحریک پذیری نورونها می شود (۷). تابع حاصل از آزمایشها نشان داده شده است که آدنوزین در مدل‌های مختلف ایجاد صرع از جمله کیندیلینگ اثرات ضدتشنجی دارد و اثر ضدتشنجی آن از طریق گیرنده‌های آدنوزینی A₁ واسطه گری می شود (۷، ۸). این گیرنده‌ها با تراکم زیادی در ناحیه CA1 هیپوکمپ باقیه شده‌اند (۹).

با توجه به وجود ارتباطات آناتومیک و فیزیولوژیک بین ناحیه CA1 هیپوکمپ و قشر انوریتال و تراکم زیاد گیرنده‌های آدنوزینی A₁ در نورونهای CA1 هیپوکمپ (۱۰)، هدف از این تحقیق مشخص نمودن نقش فعالیت گیرنده‌های آدنوزینی A₁ نورونهای ناحیه CA1 هیپوکمپ بر روی تشنجهای ایجاد شده به روش کیندیلینگ قشر انوریتال است.

مواد و روشها

۱- جراحی حیوانات

Sprague-Dawley در این تحقیق از موش‌های صحرای نر تزاد (۳۵۰-۳۷۰ گرم) استفاده شد. حیوانات با تزریق داخل صفاتی محلولی از کتامین ۱۰۰ mg/kg و رامیون (به نسبت هشت به یک) بهبود شده و در استریوتاکس فرار می گرفتند. سپس دو الکترود تک قطبی که به عنوان Differential Earth و توسط پیچهای متصل به آنها بر روی جمجمه محکم می شدند. در این تحقیق به دلیل اینکه حیوانات از طریق تحریکات الکتریکی قشر انوریتال کیندیل می شدند، الکترود سه قطبی در قشر انوریتال با مختصات قرار ۶/۷ میلی متر به سمت عقب نسبت به برگما، ۲/۳ میلی متر به سمت عقب نسبت به برگما، ۴/۷ میلی متر به سمت راست و ۶/۸ میلی متر پایین تر از سخت شامه قرار می گرفت (۱۱). دو قطب از این الکترود برای تحریک قشر انوریتال و یک قطب آن برای ثبت به کار می رفت. کاتولهای راهنمای صورت دو طرفه در ناحیه CA1 هیپوکمپ پشتی با مختصات ۳/۶ میلی متر به سمت عقب نسبت به برگما، ۲/۳ میلی متر به سمت راست و چپ و ۲/۲ میلی متر پایین تر از سخت شامه کار گذاشته می شدند (۱۱). به کاتولی که در سمت راست کار گذاشته می شد الکترودی نیز متصل بود تا فعالیت الکتریکی ناحیه CA1 هیپوکمپ پشتی نیز قابل ثبت باشد. بعد از آن پنهانی متصل به الکترودها را وارد سوکت مخابراتی کرده و سوکت بویل سیمان دندانپزشکی روی سطح جمجمه محکم می گردد.

یک هفته بعد از جراحی، ابتداء شدت آستانه تحریک تعیین می شد. بدین ترتیب که ابتداء قشر انوریتال حیوان توسط جریانی باشدت ۵ mA تحریک می شد. اگر این شدت جریان برای ایجاد امواج تخلیه متعاقب به مدت حداقل ۵ ثانیه کافی بود به عنوان جریان آستانه در نظر گرفته می شد. در غیر این صورت، با فواصل زمانی ۵ دقیقه‌ای، شدت جریان هر بار ۱۰ میکروآپر افزایش می یافت تا اینکه تخلیه‌های متعاقب بیشتر باشد. بعد از آن پنهانی متصل به الکترودها را وارد شدت جریان آستانه تحریک شده تا کیندیل شوند و ۵ مرحله تشنج را نشان دهند، مراحل حمله تشنجی در مدل کیندیلینگ عبارتند از: مرحله اول، حرکات دهان و صورت؛ مرحله دوم، انتفاض عضلات گردن و حرکت سر به بالا و پایین؛ مرحله سوم، کلونوس در یکی از اندامهای جلویی؛ مرحله چهارم، ایستادن حیوان روی اندامهای عقبی همراه با کلونوس دو اندام جلویی و مرحله پنجم، اختلال در تعادل و زمین خوردن.

آزمایشها بر روی حیواناتی صورت می گرفت که ۵ بار مرحله ۵ تشنج را نشان می دادند. کمیتهایی ذیل: بعد از هر بار تحریک اندازه گیری می شدند: مدت زمان تخلیه‌های متعاقب قشر انوریتال (Entorhinal cortex afterdischarge duration) که عبارت است از فاصله زمانی بین شروع تحریک اعمال شده به حیوان تا خاتمه ثبت امواج تخلیه متعاقب از قشر انوریتال؛ مدت زمان تخلیه‌های متعاقب ثبت شده از ناحیه CA1 هیپوکمپ (Hippocampal afterdischarge duration) یعنی فاصله زمانی بین

گیرنده‌های آدنزیتی هیپوکمپ و کیندالیگ انتورینال

تزریق CHA (۱۰ و ۵۰ میکرومولار) صورت گرفت، و حیوانات در زمانهای ۱۵ و ۲۰ دقیقه پس از تزریق CHA تحریک می‌شدند و تمامی کمیتهای تشنجی بعد از تحریک، اندازه گیری می‌گردید.

* تأیید بافت‌شناسی

پس از پایان هر آزمایش جهت اطمینان از قرار داشتن الکترود و کانولها در محل مورد نظر به محل کانول μ L رنگ آبی متنی تزریق شده و محل الکترود نیز توسط جریان الکتریکی مستقیم باشد Ω MA و به مدت زمان ۸ ثانیه تحریک گردید. پس مغز حیوانات خارج و در محلول فرمالین ۱۰ دقیقه قرار داده شد. بعد از یک هفته محل الکترود و کانول برش گیری شد تا محل الکترود و کانول مشخص گردد. فقط داده‌های حاصل از حیواناتی که الکترود آنها در موقعیت مناسب قرار داشت، مورد استفاده قرار گرفت.

* روش تجزیه و تحلیل اطلاعات

برای مقایسه تأثیر غلظت‌های مختلف CPT و CTP در زمانهای پس از تزریق دارو بر کمیتهای تشنج از آزمون ANOVA دو طرفه (از نوع Completely randomized) و آزمون Tukey استفاده شد. جهت مقایسه هر یک از کمیتها با کنترل مربوطه از آزمون t -زوجها استفاده گردید. همچنین برای مقایسه کمیتهای به دست آمده از گروهی که CPT دریافت کرده بودند با گروهی که CHA همراه با CPT دریافت کرده بودند، از آزمون t -غیر زوجها استفاده گردید.

یافته‌ها

تمامی حیواناتی که با تحریک قشر انتورینال کنیدل شده بودند، قبل و بعد از تزریق ACSF مرحله ۵ تشنج را نشان دادند. CPT و CHA در گروه‌های مورد استفاده اثر قابل توجهی بر رفتار و فعالیت حرکتی حیوان نداشتند. بررسیهای بافت‌شناسی نیز وجود الکترود قشر انتورینال و کانول در ناحیه CA1 هیپوکمپ را تایید کرد.

شروع تحریک اعمال شده به حیوان تا خانمه ثبت امواج تخلیه متعاقب هیپوکمپ CA1؛ مدت زمان تاخیری بین تحریک الکتریکی و شروع مرحله ۴ تشنج (Stage 4 latency; S4L) که فاصله زمانی بین شروع تحریک تا شروع مشاهده علایم مرحله ۴ تشنج است؛ مدت زمان مرحله ۵ تشنج (Stage 5 duration; S5L) فاصله زمانی بین شروع مشاهده علایم مرحله ۵ تشنج تا خانمه علایم این مرحله تشنج است؛ مرحله حمله تشنج (Seizure stage; SS) یعنی اینکه حیوان کدامیک از پنج مرحله تشنج را نشان می‌دهد مدت زمان کل تشنج (Seizure duration; SD) فاصله زمانی بین شروع تحریک اعمال شده به حیوان تا خانمه علایم تشنجی و برگشت حیوان به حالت طبیعی. کمیتهای اول و دوم الکتروفیزیولوژیک و سایر کمیتهای رفتاری هستند و فاصله زمانی در تمام کمیتها به وسیله کامپیوتر اندازه گیری شد. آزمایشها در ۲۱ گروه و در هر گروه حداقل ۶ حیوان استفاده گردید و ضوابط اخلاقی مورجز در بخش فارماکولوژی دانشگاه شهید بهشتی هنگام کار با حیوانات در نظر گرفته شد.

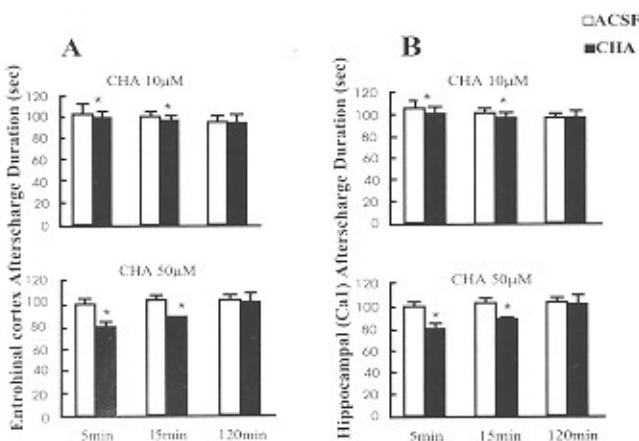
* تزریق دارو

تزریق CHA یا CPT به ناحیه CA1 هیپوکمپ

برای تزریق CHA یا CPT به ناحیه CA1 هیپوکمپ، این داروها در مایع مغزی نخاعی مصنوعی (ACSF) حل شدند. CHA با گروه‌های ۱، ۱۰ و ۵۰ میکرومولار و CPT با گروه‌های ۵ و ۱۰ میکرومولار به حیوانات کنیدل، تزریق شد ($1\mu\text{L}/2\text{min}$) و حیوانات در زمانهای ۱۵، ۲۰ و ۲۵ دقیقه پس از تزریق شد و کمیتهای تشنجی آنها اندازه گیری شد. در همه آزمایشها، در ۲۴ ساعت قبل از تزریق داروها، به حیوانات ACSF تزریق شد و از داده‌های حاصل به عنوان کنترل استفاده می‌گردید.

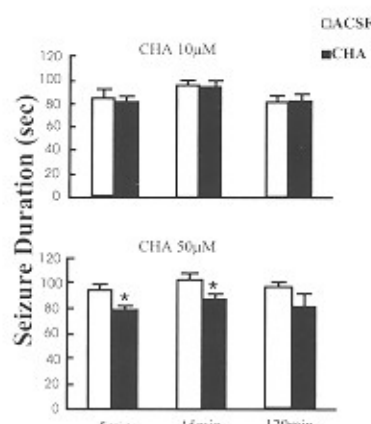
تزریق CHA همراه با CPT به ناحیه CA1 هیپوکمپ

در این آزمایش تزریق CPT (۵ میکرومولار) ۵ دقیقه قبل از



شکل ۱: اثر تزریق CHA (۱۰ و ۵۰ میکرومولار) به ناحیه CA1 هیپوکمپ بر امواج تخلیه متعاقب بست شده، از قشر انتورینال (A) و ناحیه CA1 هیپوکمپ (B). حیوانات در زمانهای ۱۵، ۲۰ و ۲۵ دقیقه بعد از تزریق تحریک شدند. مقادیر بصورت میانگین ± خطای میانگین و بر حسب تابع نشان داده شده‌اند.

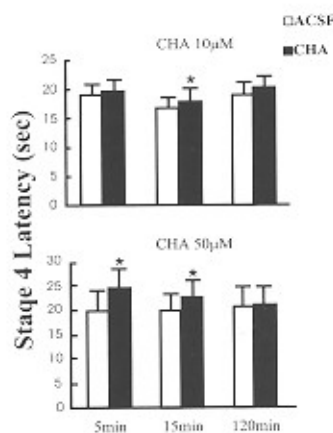
* نشان دهنده $P < 0.05$ در مقایسه با حالت کنترل (زریق ACSF) با استفاده از آزمون t -زوجها است. $n=6-8$



شکل ۴: اثر تزریق دو طرفة CHA (۱۰ و ۵۰ میکرومولار) به ناحیه CA1 هیپوکمپ بر مدت زمان کل شنج حیوانات در زمانهای ۵، ۱۵ و ۱۲۰ دقیقه بعد از تزریق تصریک شدند. مقادیر بصورت میانگین ± خطای میار میانگین بر حسب تابعه نشان داده شدند. * نشان دهنده $P < 0.05$ در مقایسه با حالت کنترل (تزریق) (ACSF) با استفاده از آزمون t -زوچها است.

* اثر تزریق CHA به ناحیه CA1 هیپوکمپ

به دنبال تزریق غلظت‌های ۱۰ و ۵۰ میکرومولار CHA، کاهش معنی داری در آDD نیست شده از فشر انتریتال و ناحیه CA1 هیپوکمپ در زمانهای ۵ و ۱۵ دقیقه پس از تزریق مشاهده شد (شکل ۱ A و B) و آزمون ANOVA دو طرفه نشان داد که این اثر وابسته به دُز است. کمیت S4L در زمانهای ۵ و ۱۵ دقیقه پس از تزریق ۵۰ میکرومولار و در زمان ۱۵ دقیقه بعد از تزریق ۱۰ میکرومولار CHA به طور معنی داری افزایش یافت (شکل ۲).



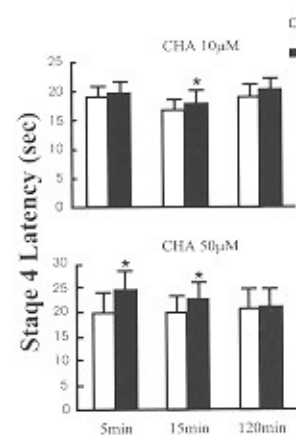
شکل ۵: اثر تزریق CPT به ناحیه CA1 هیپوکمپ بر کمیت‌های شنجی ناشی از CPT با غلظت ۱۰ میکرومولار ۱۵ دقیقه پس از تزریق باعث افزایش معنی داری در S5L و ADD و کاهش معنی داری در S4L شد. آزمون ANOVA دو طرفه نشان داد که این تغییرات وابسته به دُز \times زمان نمی‌باشد (جدول ۱).

جدول ۱: اثر تزریق CPT به ناحیه CA1 هیپوکمپ بر کمیت‌های شنجی ناشی از کیندلینگ فشر انتریتال

داروی تزریق شده	CPT(10μM)	ACSF	زمان تحریک پس از تزریق	کمیت اندازه گیری شده
E-ADD	۸۷/۳۷±۴/۵۲	۸۷/۸۵±۴/۲۹	۰	
	۱۰۷/۳۳±۴/۲۳*	۱۰۷/۹۷±۴/۹۶	۱۵	
	۸۹/۰۲±۴/۱۷	۸۷/۷۵±۴/۰۲	۱۲۰	
	۸۷/۳۰±۴/۰۶	۸۷/۸۴±۴/۰۹	۵	
	۱۰۸/۳۱±۵/۲۳*	۱۰۰/۴۴±۴/۰	۱۵	
	۸۷/۳۲±۴/۱۷	۸۷/۷۷±۴/۰۷	۱۲۰	
H-ADD	۱۶/۹۱±۲/۰۳	۱۸/۴۲±۲/۷۸	۵	
	۱۲/۴۷±۲/۰۰	۱۶/۰۹±۱/۱۴	۱۵	
	۱۷/۲۱±۲/۰۸	۱۸/۴۱±۲/۸۸	۱۲۰	
	۲۰/۹۸±۲/۸۲*	۲۰/۷۹±۱/۷۰	۵	
S4L	۲۶/۰۱±۲/۰۲*	۲۰/۳۳±۲/۰۶	۱۵	
	۲۷/۰۲±۲/۶۲	۲۶/۲۹±۲/۴۳	۱۲۰	
	۲۰/۹۸±۲/۸۲*	۲۰/۷۹±۱/۷۰	۵	
S5D	۲۰/۰۱±۲/۰۲*	۲۰/۳۳±۲/۰۶	۱۵	
	۲۰/۰۲±۲/۶۲	۲۰/۲۹±۲/۴۳	۱۲۰	
	۲۰/۹۸±۲/۸۲*	۲۰/۷۹±۱/۷۰	۵	

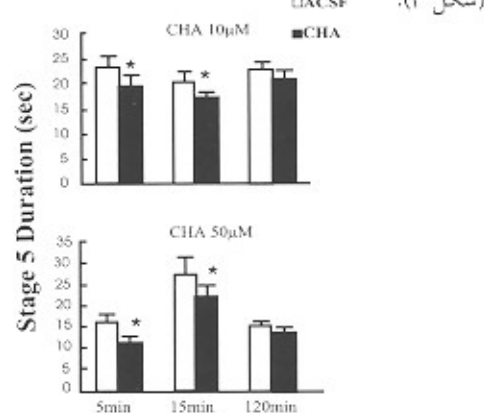
دادهای به صورت میانگین ± خطای میار میانگین نشان داده شدند. در هر گروه تعداد حیوانات ۶ می باشد. * نشان دهنده $P < 0.05$ در مقایسه با ACSF (گروه کنترل) با استفاده از آزمون t -زوچها است.

آزمون ANOVA دو طرفه نشان داد که این اثر وابسته به دُز (۰ و ۵۰ میکرومولار) (P<0.05) و زمان (۵ و ۱۵ دقیقه) (P<0.01) بوده ولی وابسته به دُز \times زمان نیست. کمیت SD تنها در غلظت ۵۰ میکرومولار CHA (شکل ۳)، در زمانهای ۵ و ۱۵ دقیقه بعد از تزریق بطور معنی داری کاهش یافت (شکل ۳). بر اساس آزمون ANOVA دو طرفه این اثر وابسته به دُز بوده (P<0.01) اما وابسته به زمان و یا دُز \times زمان نیست.



شکل ۶: اثر تزریق دو طرفة CHA (۱۰ و ۵۰ میکرومولار) به ناحیه CA1 هیپوکمپ بر زمان ناخبری بین تحریک نا شروع مرحله ۲ شنج حیوانات در زمانهای ۵، ۱۵ و ۱۲۰ دقیقه بعد از تزریق تحریک شدند. مقادیر بصورت میانگین ± خطای میار میانگین و بر حسب تابعه نشان داده شدند. * نشان دهنده $P < 0.05$ در مقایسه با حالت کنترل (تزریق) (ACSF) با استفاده از آزمون t -زوچها است.

بر اساس آزمون ANOVA دو طرفه این اثر وابسته به دُز بوده (P<0.01) اما وابسته به زمان و یا دُز \times زمان نیست. کمیت S5D با تزریق غلظت‌های ۱۰ و ۵۰ میکرومولار CHA در زمانهای ۵ و ۱۵ دقیقه، بعد از تزریق بطور معنی داری کاهش یافت (شکل ۳).



شکل ۷: اثر تزریق دو طرفة CHA (۱۰ و ۵۰ میکرومولار) به ناحیه CA1 هیپوکمپ بر مدت زمان مرحله ۵ شنج حیوانات در زمانهای ۵، ۱۵ و ۱۲۰ دقیقه بعد از تزریق تحریک شدند. مقادیر بصورت میانگین ± خطای میار میانگین و بر حسب تابعه نشان داده شدند. * نشان دهنده $P < 0.05$ در مقایسه با حالت کنترل (تزریق) (ACSF) با استفاده از آزمون t -زوچها است.

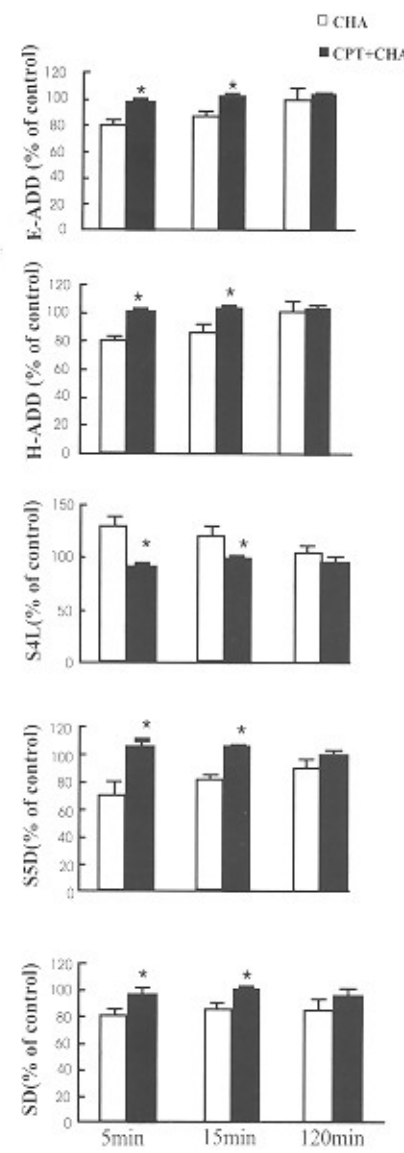
ناشی از کبندلینگ قشر انتورینال نقش دارد. مطالعاتی که در گذشته انجام شده است، نشان می‌دهند که آدنوزین اثرات ضد تشنجی خود را از طریق گیرنده‌های آدنوزینی A₁ عامل می‌کند (۷، ۸). در تحقیقات قبلی این آزمایشگاه تبری، به دنبال تزریق آگونیست اختصاصی گیرنده‌های آدنوزینی A₁ به ناحیه هیپوکمپ (۹)، آسیدگال (۱۲) قشر پری‌رانیال (۱۳) و قشر انتورینال (۱۴) اثرات ضد تشنجی در مدل ضد صرعی کبندلینگ آسیدگال مشاهده شده است. وجود تراکم زیادی از گیرنده‌های آدنوزینی A₁ در ناحیه CA1 هیپوکمپ (۱۵)، اثرات مهاری آگونیست‌های این گیرنده بر رهایش میانجی‌های تحریکی در برشهای زنده ناحیه CA1 هیپوکمپ (۱۰)، عدم تأثیر آن بر روی رهایش میانجی‌های مهاری مثل گابا در هیپوکمپ (۸) و فقدان یا کاهش گیرنده‌های A₁ در هیپوکمپ بیماران مصروع با مشا لوب گیجگاهی (۱۷)، نشان دهنده نقش تعدیلی قوی آدنوزین در ناحیه CA1 هیپوکمپ است. بنابراین به نظر می‌رسد هیپوکمپ از جمله نواحی مغزی است که اهمیت زیادی در ایجاد اثرات ضد تشنجی آدنوزین از طریق گیرنده‌های A₁ دارد. در این تحقیق نیز تزریق با غلطنهای ۱۰ و ۵۰ میکرومولار به صورت دو طرفه به ناحیه CA1 هیپوکمپ پشتی، باعث کاهش معنی داری در ثبت شده از ناحیه CA1 هیپوکمپ شد که مؤید اثرات ضد تشنجی آدنوزین از طریق گیرنده‌های A₁ است. اما مطالعه برشهای زنده کبندلینگ قشر انتورینال - هیپوکمپ نشان داده است که فعالیت تشنجی که در نورونهای قشر انتورینال ایجاد می‌شود (۱۸) و به شکنج دندانهای مشترک می‌شوند، در این ناحیه تقویت شده و به نواحی CA3 و CA1 هیپوکمپ نمی‌رسد (۵، ۱۹). مطالعات موجودات زنده نیز پیشنهاد می‌کند که شکنج دندانهای به عنوان یک فیلتر از گسترش امواج تشنجی جلوگیری می‌کند (۲۰) و این عمل فیلتری به علت وجود ایترنورونهای مهاری فراوان در این ناحیه می‌باشد (۲۱). با این حال نشان داده شده است که کبندلینگ با تغییر عمل فیلتری شکنج دندانهای، باعث تسهیل انتشار تشنجی از شکنج دندانهای می‌شود (۲۲).

نقش هیپوکمپ در گسترش امواج تشنجی ناشی از کبندلینگ قشر انتورینال مهم به نظر می‌رسد. در این تحقیق با تزریق CHA با غلطنهای ۱۰ و ۵۰ میکرومولار به صورت دو طرفه به ناحیه CA1 هیپوکمپ پشتی حیواناتی که با تحریک الکتریکی قشر انتورینال کبندل شده بودند، کاهش معنی داری در زمان تخلیه متعاقب (ADD)، مدت زمان مرحله پنج تشنج (S5D) و افزایش معنی داری در زمان تاخیری بین تحریک الکتریکی تا شروع مرحله چهارم تشنج (S4L) مشاهده گردید. تغییرات مذکور همگی دلالت بر اثرات ضد تشنجی دارویی بکار رفته دارند. با توجه به اینکه در این تحقیق ناحیه تزریق داروی CHA و ناحیه تحریک قشر انتورینال بوده است لذا تغییری که در فعالیت نورونهای ناحیه CA1 هیپوکمپ بدنبال تزریق دارو رخ داده است، باعث کاهش تشنجی ناشی از کبندلینگ قشر انتورینال شده است.

تغییر معنی دار کیمیهای تشنجی در مدت زمان ۱۵ و ۵ دقیقه پس از تزریق CHA نشان می‌دهد که اولاً CHA به راحتی توسط آنزیمهای تجزیه نمی‌شود و ثانیاً سرعت و انتشار آن به سایر نواحی مغزی (به

* اثر تزریق CHA همراه با CPT به ناحیه CA1 هیپوکمپ

آزمون + غیر زوجها نشان داد هنگامی که CPT با غلطه ۵ میکرومولار ۵ دقیقه قبل از CHA ۱۰ و ۵۰ میکرومولار به حیوانات تزریق شود، اثرات کاهشی CHA بر ADD و S5D و الی افزایشی آن بر S4L حذف می‌گردد.



شکل ۵: کاهش اثرات CHA بر مدت زمان تخلیه متعاقب قشر انتورینال و هیپوکمپ، زمان تاخیری بین تحریک تا شروع مرحله ۴ تشنج (S4L) و مدت زمان مرحله ۵ تشنج (S5D) (۵ میکرومولار) تزریق CPT ۵ دقیقه قبل از تزریق CHA (۱۰ و ۵۰ میکرومولار)، تزریق با غلطه ۵ میکرومولار نزدیک شد. حیوانات در زمانهای ۱۰ و ۱۲۰ دقیقه بعد از تزریق CHA تحریک شدند. مقادیر به صورت = خطای میانگین و بر حسب ناتیجه نشان داد شدند.
* نشان دهنده آزمون $P < 0.05$ در گروه CHA با استفاده از آزمون t . غیر زوجها است. $n=6-8$

بحث

نتایج حاصل از این تحقیق نشان می‌دهد که تزریق CHA، آگونیست اختصاصی گیرنده A₁ به ناحیه CA1 هیپوکمپ در گسترش امواج تشنجی

گردید که در غلظت ۵ میکرومولار هیچ تغییر معنی داری در کمیتهای تشنجی ایجاد نکرد. در صورتی که ۱۵ دقیقه بعد از تزریق با غلظت ۱۰۰M⁻¹، باعث تقویت کمیتهای تشنجی شد، ولی در زمانهای ۵ و ۱۲۰ دقیقه بعد از تزریق تأثیر معنی داری روی کمیتهای تشنجی نداشت. مطالعات زیادی ت Shank داده‌اند که هنگام تشنج غلظت آدنوزین افزایش می‌باشد و پیشنهاد شده که یکی از دلایل احتمالی خانمه بافت تشنج مربوط به تأثیر آدنوزین درون زاد است (۷، ۸). بنابراین تسریع روند کیندلینگ قشر انتریتال بدنبال تزریق آنتاگونیست‌ها گیرنده A₁ نشان می‌دهد که آنتاگونیست به کار برده از تأثیر آدنوزین درون زا جلوگیری کرده شده است و نقش آدنوزین درون زاد به عنوان یک تعدیل کننده حملات تشنجی تائید می‌شود.

بطور کلی نتایج حاصل از این تحقیق نشان می‌دهد که در حیواناتی که با تحریک الکتریکی قشر انتریتال کیندل شده‌اند، تزریق دو طرفه غلظتها مختلف C_{HA} به ناحیه CA1 هیپوکمپ، مدت زمان امواج تخلیه متعاقب قشر انتریتال را کاهش می‌دهد. بنابراین می‌توان نتیجه گرفت که هیپوکمپ احتمالاً به عنوان یکی از ساختارهای عصبی مهم در گسترش امواج تشنجی از قشر انتریتال به سایر نقاط مغزی عمل می‌کند و فعالیت گیرندهای آدنوزینی A₁ این ناحیه، با کاهش میزان فعالیت نورونهای آن، باعث کاهش شدت تشنج در کیندلینگ قشر انتریتال می‌شود به علاوه آدنوزین درون زاد موجود در ناحیه CA1 هیپوکمپ نقش ضد تشنجی ایفا می‌کند. هر چند تزریق C_{HA} به ناحیه CA1 هیپوکمپ باعث تغییر معنی داری در کمیتهای تشنجی گردید، اما چون قادر به مهار مرحله تشنجی بطور کامل نیست، بنظر می‌رسد که علاوه بر ناحیه CA1 هیپوکمپ نواحی دیگری نیز در مهار تشنجات قشر انتریتال نقش دارند که این موضوع باید در تحقیقات بعدی مورد بررسی قرار گیرد.



References

- McNamara, J O: Drugs effective in the therapy of the epilepsy. In: Goodman and Gilman's: The pharmacological basis of therapeutics, JG. Hardman, LE Limbird, (eds) Mc Graw-Hill, 2000; 521-549
- McNamara, J O: Cellular and molecular basis of epilepsy. J Neurosci, 1994; 14: 3413-3425
- Metha R, Dasgupta C, Ulla R: A neural network model for kindling of focal epilepsy: basic mechanism. Biol Cybern, 1993; 68: 335-340
- Simonato M, Varani K, Muzzolini A, Bianchi C, Beani L, Borea PA: Adenosine A₁ receptors in the rat brain in the kindling model of epilepsy. Eur J Pharmacol 1994; 262: 121-124
- Bradford HF: Glutamate, GABA and Epilepsy. Prog Neurobiol, 1995; 47: 477-511
- Dugladze T, Heinemann U, Gloveli T: Entorhinal cortex projection cells to the hippocampal formation in vitro. Brain Res 2001; 905: 224-231
- Dunwiddie TV, Masino SA: The role and regulation of adenosine in the central nervous system. Annu Rev Neurosci 2001; 24: 31-55
- Dunwiddie TV: Adenosine and suppression of seizures. Med Res, 1999; 79: 1001-1010
- Alasvandzarasvand M, Mirnajafi Zadeh J, Fathollahi Y, Palizvan MR: Anticonvulsant effect of bilateral injection of N⁶-cyclohexyladenosine into the CA1 region of hippocampus in amygdala-kindled rats Epilepsy Res, 2001; 41-49
- Grover LM, Chen R: The modulation of excitatory synaptic transmission by adenosine in area CA1 of the rat hippocampus is temperature dependent. Neurosci Lett, 1999; 263: 77-80
- Paxinos G, Watson C: The rat brain in stereotaxic coordinates. Academic Press, 1986





12. Mirnajafi Zadeh J, Fathollahi Y, Pourgholami MH: Intraperitoneal and intraamygdala N6-cyclohexyladenosine suppress hippocampal kindled seizures in rats. *Brain Res* 2000; 858: 48-54
13. Mirnajafi Zadeh J, Pourgholami MH, Palizyan MR, Rostampour M, Fallahi M: Anticonvulsant action of 2-chloroadenosine injected focally into the perirhinal cortex in amygdaloid kindled rats. *Epilepsy Res* 1999; 37: 37-43
۱۴. محمد زاده محمد، میرتجفی زاده سید جواد، فتح الهی یعقوب، روضاتی سید علی؛ اثر تعدیل فعالیت گیرنده‌های آدنوزینی A₁ نورونهای قشر انتورینال بر شدت تشنجهای ناشی از کیندلنگ آمیگدال در موشهاي صحرابي. ترسيره پژوهشکي پايانه، ۱۳۸۱؛ شماره ۱۴، صفحه ۷۱-۷۸
15. Chen Y, Graham DI, Stone TW: Release of endogenous adenosine and its metabolites by the action of NMDA receptors in the rats hippocampus *in vivo*. *Br J Pharmacol* 1992; 106: 632-638
16. Cunha RA: Adenosine as a neuromodulator and as a homeostatic regulator in the nervous system: different roles, different sources and different receptors. *Neurochem*, 2001; 38: 107-125
17. Glass M, Faull RM, Bullock JY, Janes K, Mee EW, Walker EB, Synck BJL, Draguno M: Loss of A₁ adenosine receptors in human lobe epilepsy. *Brain Res*, 1996; 710: 56-68
18. Mody I, Lambert JDC, Heinemann U: Low extracellular magnesium induces epileptiform activity

- and spreading depression in rat hippocampal slices. *J Neurophysiol*, 1987; 57: 869-888
19. Jones RSG, Lambert JDC: The role of excitatory amino acid receptors in the propagation of epileptiform discharges from the entorhinal cortex to dentate gyrus *in vitro*. *Exp Brain Res*, 1990; 80: 310-322
20. Collins RC, Tearse RG, Lothman EW: Functional anatomy of limbic seizures: focal discharges from medial entorhinal cortex in rat. *Brain Res*, 1983; 280: 25-40
21. Gloveli T, Schmitz D, Heinemann U: Interaction between superficial layers of the entorhinal cortex and hippocampus in normal and epileptic temporal lobe. *Epilepsy Res*, 1998; 32: 183-193
22. Behr J, Gloveli T, Gutierrez R, Heinemann U: Spread of low Mg²⁺ induced epileptiform activity from the rat entorhinal cortex to the hippocampus after kindling studied *in vitro*. *Neurosci Lett*, 1996; 216: 41-44
23. Jacobson KA, Van Galon PJM, Williams M: Adenosine receptors: pharmacology , structure relationships and therapeutic potential. *J Med Chem* 1992; 35: 407-422
24. Ralvic V, Burnstak G: Receptor for purines and pyrimidines. *Pharmacol Rev*, 1998; 50: 413-422
25. Brundage JM, Dunwiddie TV: Role of adenosine as modulator of synaptic activity in the central nervous system. *Adv Pharmacol* 1997; 39: 353-391

